

Zn-22% Al 合金的电致超塑性效应^①

李 烧 董晓华

(湖北工学院机械工程系, 武汉 430068)

摘要 以普通处理的 Zn-22% Al 合金为研究对象, 研究了脉冲电流对其超塑性效应的影响。结果表明, 合金的延伸率显著提高并以更高的 m 值为特征; 最佳超塑变形温度扩宽为一区间。电镜观察表明, 合金局部表现出强烈的变形强化特征, 同时局部又以很高的应力松弛为特点, 这两个过程达到动态平衡, 有效地提高了合金的均匀变形能力。

关键词 电致超塑性 Zn-22% Al 合金 位错

电流和电场对金属的塑性变形、疲劳、应力和相变都有很大影响^[1-3]。早在 60 年代就观察到直流电可提高位错运动。首次实验是在对 Zn 单晶体变形时用 1 MeV 电子辐射, 发现 Zn 的塑性提高, 应力下降, 并提出了电致塑性效应(Electroplastic Effect)概念^[2]。以后又对各种纯金属进行研究, 观察晶体中的漂移电子对其流动应力及塑性的影响^[4]。这些实验表明电流可促进金属中的原子扩散, 改变位错形态, 加快位错运动。根据这一基础及受电致塑性效应概念的启发, 作者研究了 Zn-22% Al 合金的电致超塑性效应。其目的是通过施加高密度的脉冲电流观察合金的超塑性变形行为, 并探讨其变形机理。

1 实验方法

实验材料为 Zn-22% Al 合金, 成分为(%)为: Al 20.62, Fe 0.23, Si 0.30, 余量为 Zn。

试样制备工序如下: 石墨坩埚熔化 → 除气 $\xrightarrow{630^{\circ}\text{C}}$ 铸锭($300\text{ mm} \times 180\text{ mm} \times 25\text{ mm}$) → 均热 $\xrightarrow{370^{\circ}\text{C}, 6\text{h}}$ → 水淬 $\xrightarrow{270^{\circ}\text{C}}$ 热轧至 3mm → 冷轧至 1.0 mm $\xrightarrow{\text{退火}}$ $370^{\circ}\text{C}, 1\text{h}$ → 水淬

超塑拉伸在岛津 AG-10TA 型电子拉伸机上进行, 并通以直流脉冲电流。电流密度 $J = 7.4 \times 10^2 \text{ A/mm}^2$, 脉冲间隔时间 $50 \mu\text{s}$, 脉冲频率 10 Hz 。加热炉为三段连续控温对开式加热炉, 温度偏差 $\pm 2^{\circ}\text{C}$ 。拉伸以恒机头速率方式进行。 m 值(应变速率敏感性指数)计算采用速度突变法。电镜观察在 JEM-100CX 型透射电镜和 SEM-SX40 型扫描电镜下进行。

2 实验结果及讨论

图 1 为合金延伸率(δ)与应变速率($\dot{\epsilon}_0$)的关系。由图 1 可见, 与无脉冲电流的拉伸结果相比较, 施加脉冲电流后其延伸率有了很大提高, 在不算低的应变速率 $\dot{\epsilon}_0 \leq 1.67 \times 10^{-3} \text{ s}^{-1}$ 下, 材料的延伸量超出了拉伸机横梁所能到达的极限位置, 这时的 $\delta > 1250\%$, 故延伸率值不能给出, 因此对 Zn-22% Al 合金的处理是采用最普通的处理方式。在 $T = 230^{\circ}\text{C}$, $\dot{\epsilon}_0 = 8.3 \times 10^{-3} \text{ s}^{-1}$ 时, $\delta > 1060\%$ 。这表明高的延伸率可在高应变速率下获得, 而且所要求的变形温度降低。同时, 在 $\dot{\epsilon}_0 = 3.3 \times 10^{-2} \text{ s}^{-1}$ (高应变速率)下, δ 仍高达 400%。图 2 为延伸率与变形温度的关系。可见, 无脉冲电流时, 合金的

① 国家自然科学基金和湖北省自然科学基金资助项目
李 烧, 男, 39 岁, 副教授, 博士
收稿日期: 1995-11-16; 修回日期: 1996-03-14

延伸率在250℃表现出最大值。施加脉冲电流后，最佳超塑变形温度向低温度方向偏移，且超塑变形温度范围扩宽，从230℃至280℃，合金的延伸率相当，峰值为一温度区间。

另外，在脉冲电流作用下，只要变形温度高于200℃， $\dot{\epsilon}_0$ 低于 $2.5 \times 10^{-2} \text{ s}^{-1}$ ，其 δ 均大于700%。众所周知，普通超塑状态产生在有条件保证原子大扩散迁移率的情况下，而较高的变形温度($\geq 0.5 T_m$)和较易扩散的相分界或晶粒边界表面就属于这样的条件。高温是提高原子扩散系数的决定性因素。显然低温度、高应变速率就不是上述所要求的条件。因此，无脉冲电流时，合金在低温、高应变速率下，延伸率很低。但施加脉冲电流后，情况发生了变化，晶体中的漂移电子在电场力作用下，可促进原子扩散和位错滑移，部分补偿变形温度低的不足，这样合金由非超塑状态进入准超塑状态或完全超塑状态。因此合金在低温、大应变速率下仍表现出较高的延伸率和良好的超塑性特征。另由图3的结果知，施加脉冲电流，合金的 m 值均得以提高。表明了该合金在电流作用下，体现以大 m 值为特征及抗颈缩能力的增强。

对于Zn-22%Al这类双相合金而言，晶粒间滑动是尤为重要的变形机制，它是通过晶界位错在晶界上滑动来实现的，这由许多学者所做的研究得以证实。因此该合金在超塑变形过

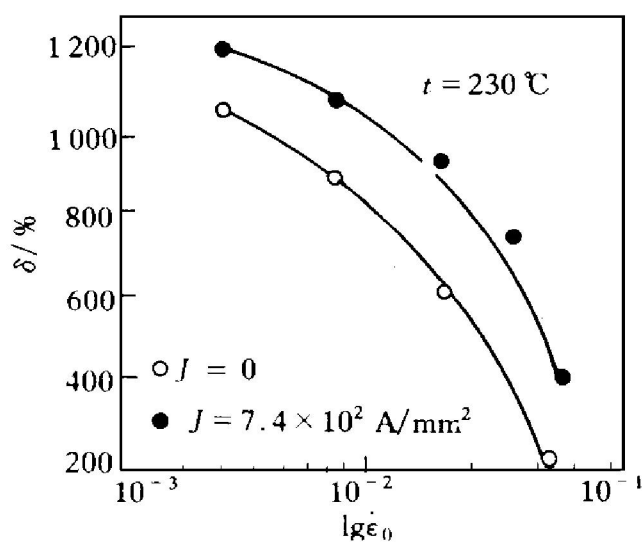


图1 合金的延伸率(δ)与应变速率($\dot{\epsilon}_0$)的关系

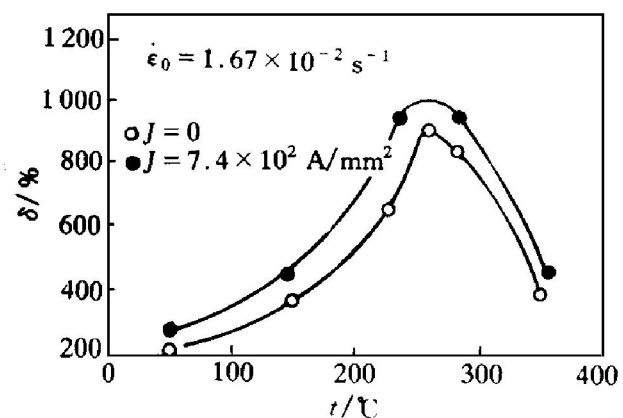


图2 合金的延伸率(δ)与变形温度(t)的关系

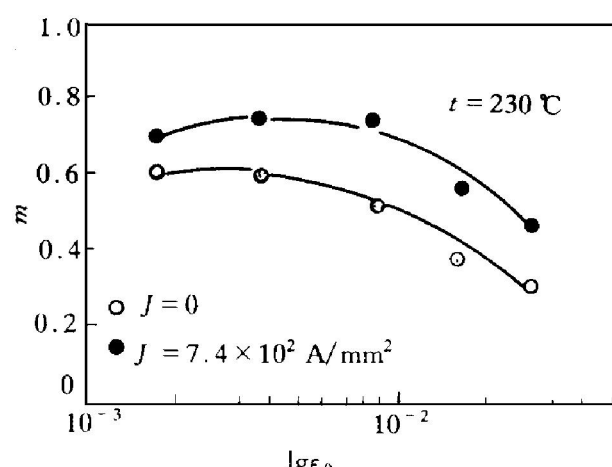


图3 m 值与应变速率($\dot{\epsilon}_0$)的关系

程中晶粒形状为等轴状或通过动态再结晶使晶粒变为等轴晶粒，见图4(a)、(b)。但是，当合金超塑变形时，施加脉冲电流，合金中是局部发生动态回复和动态再结晶，见图4(c)、(d)所示，表现为当位错在晶界上的滑动遇到障碍受阻便会形成位错塞积，在位错塞积前端形成应力集中，当位错塞积达到一定值时，位错便发生动态回复进而发生动态再结晶降低由此造成的应力集中；另一方面，由于电流的参入作用，造成电子与位错的交互作用，晶内可动位错密度提高，同时位错又受电子风的推力作用，晶内位错的滑移能力增强，阻止位错滑移的障碍得以克服，由位错造成的应力集中的可能性降低，位错的塞积程度下降，不足以产生动态回复和动态再结晶，因此部分变形组织(纤维组织)遗留下来，见图4(e)、(f)。这样

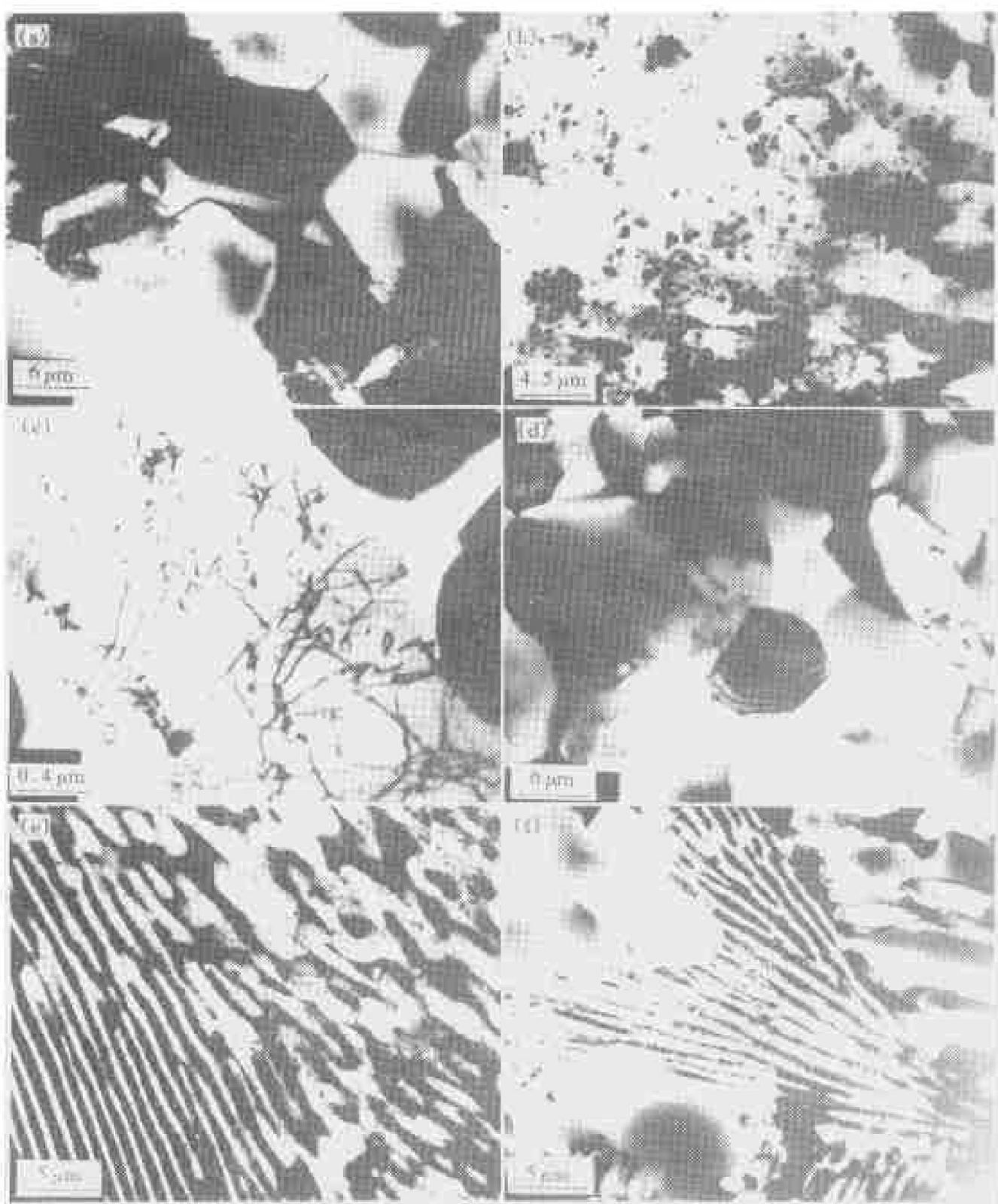


图4 Zr-22% Al合金超塑变形时的组织

 $(T = 250^\circ\text{C}, \dot{\epsilon}_0 = 8.3 \times 10^{-2} \text{s}^{-1})$

- (a), (b) —无脉冲电流时, 合金的组织状态;
- (c) —有脉冲电流时, 发生的动态回复;
- (d) —有脉冲电流时, 发生的动态再结晶;
- (e) —有脉冲电流时, 局部的纤维组织; (f) —有脉冲电流时, 呈放射状的纤维组织

晶粒发生变形被拉长,与此同时位错在晶界上的滑移能力下降,位错产生塞积。只有当位错塞积达到更高的密度时,才发生动态回复和动态再结晶以降低由位错塞积引起的应力集中,见图4(c)、(d)。这体现了晶内位错受电子风力方向的影响,在最易于滑动的平面内运动,而直接参与对塑性变形的贡献。因此,施加脉冲电流,该合金的超塑变形的物理特征是更高的 m 值;微观上,各部分晶粒变形不均匀,局部表现出强烈的变形强化特征,同时局部又以非常高的应力松弛为特点,这样拉伸试验时,合金的强化与恢复这两种过程的连续较量,达

到动态平衡,宏观上表现出更高的均匀变形,有效地实现了文献[4]所述的细颈游动机理,也是对该机制的有力证实。

参 考 文 献

- 1 李尧.轻金属,1992,(4):55.
- 2 Silveira V, Porto M F S, Mannheimer W A. Script Metall, 1981, 15(8):945.
- 3 Okazaki K, Kagawa M, Conrad H. Script Metall, 1979, 13(4):277.
- 4 季霍诺夫 A C 著, 刘春林译. 金属与合金的超塑性效应. 北京:科学出版社, 1983: 61—63.

ELECTROSUPERPLASTIC EFFECT OF Zn-22% Al ALLOY

Li Yao, Dong Xiaohua

*Department of Mechanical Engineering,
Hubei Institute of Technology, Wuhan 430068*

ABSTRACT The effect of pulse electric current on the superplasticity of the common-treated Zn-22% Al alloy was studied. The results showed that the elongation of the alloy was appreciably increased, which was characterized by a higher m value, and the optimum superplastic deformation temperature was enlarged to be a temperature range. With the SEM, we could find that part of the alloy exhibited strong deformation strengthened character, and concurrently occurred high stress relaxation. These two processes reached dynamic equilibrium, which increased the homogeneous deformability effectively.

Key words electro-superplasticity Zn-22% Al alloy dislocation

(编辑 彭超群)